

FIG. 1

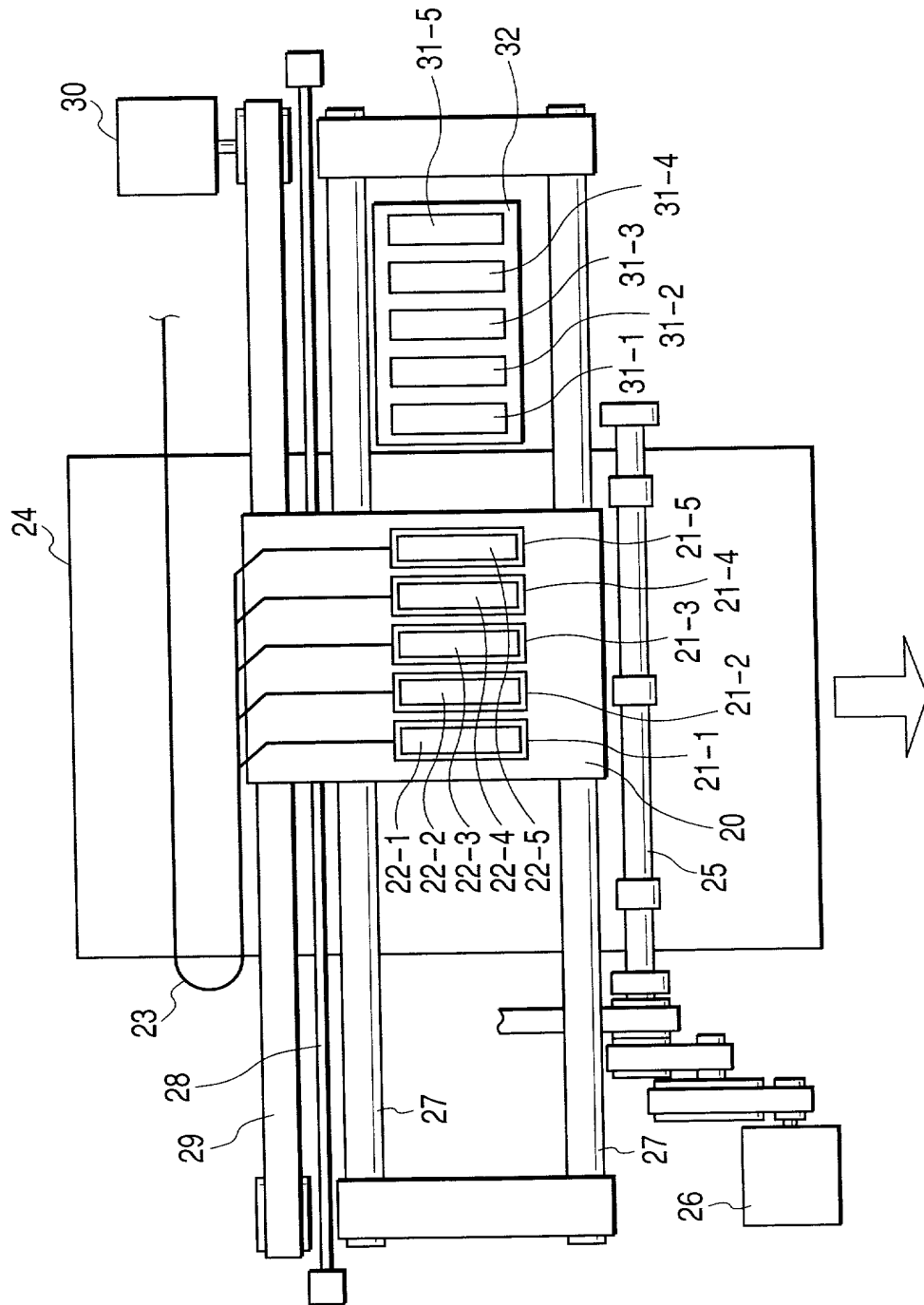


FIG. 2

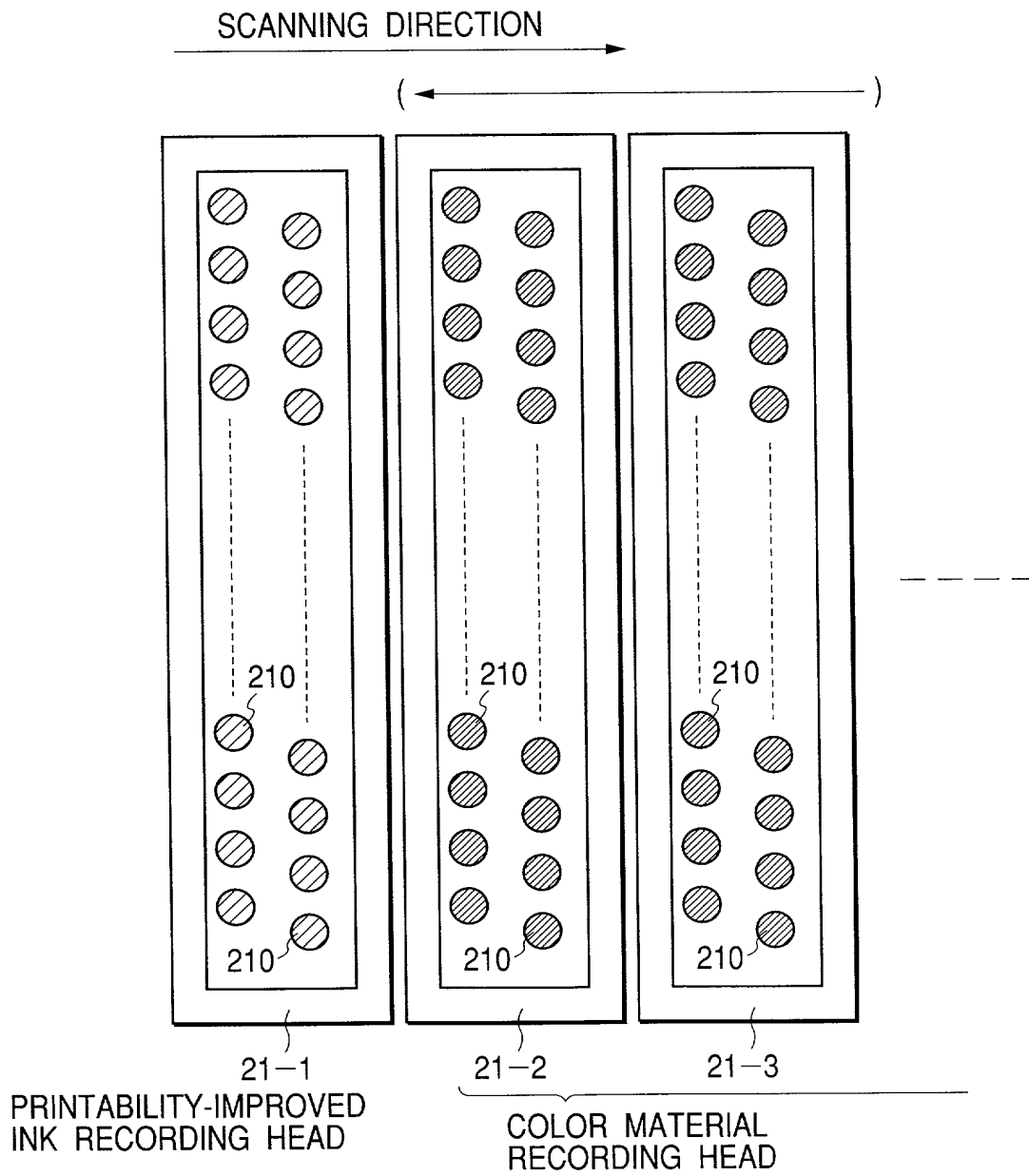


FIG. 3

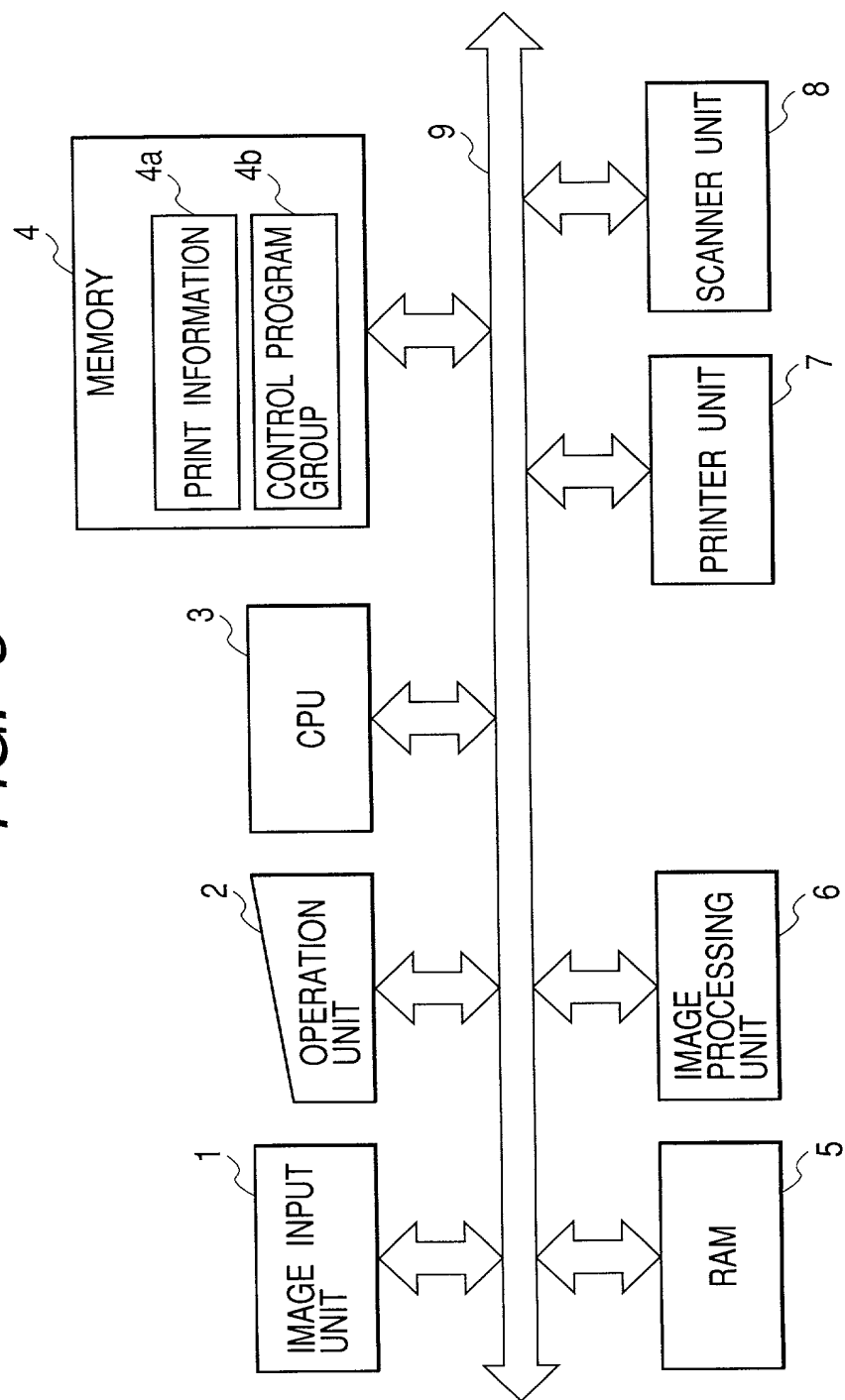


FIG. 4A

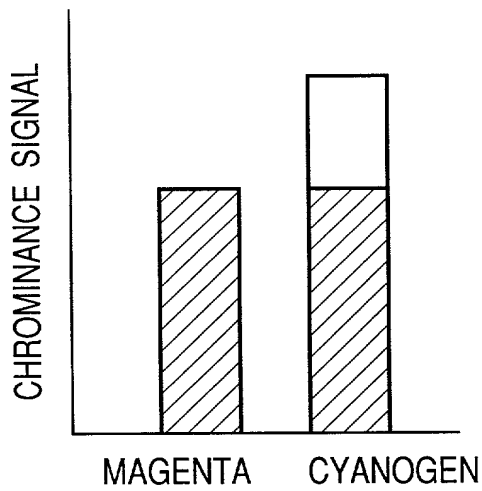


FIG. 4B

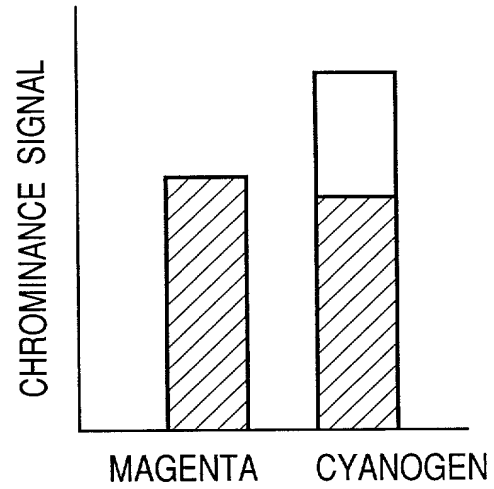
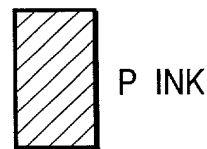
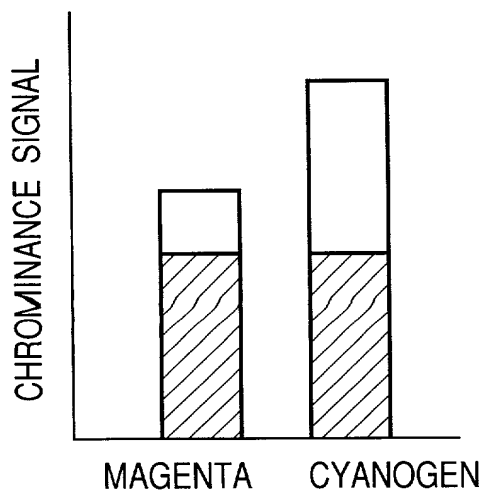


FIG. 4C



$L (M \text{ INK}) < L (P \text{ INK})$

$L (C \text{ INK}) < L (P \text{ INK})$

RELATIONSHIP OF LIGHTNESS
OF INK DOT

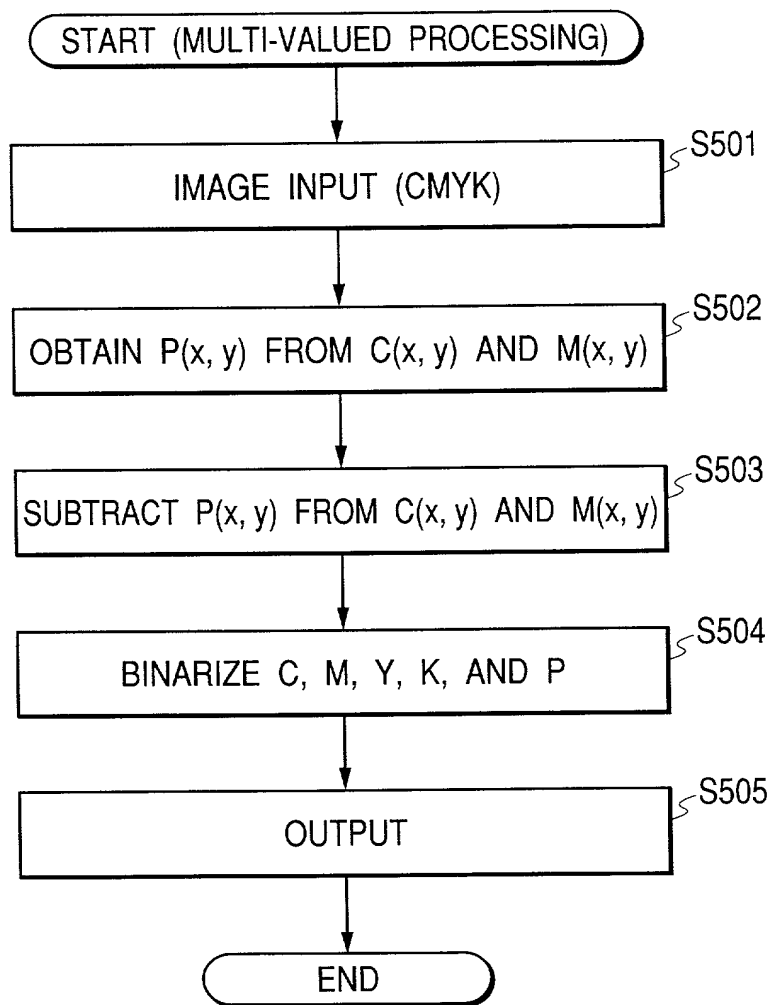
FIG. 5

FIG. 6A

$C(i, j)=56$ $M(i, j)=94$	$C(i+1, j)=60$ $M(i+1, j)=100$
$C(i, j+1)=50$ $M(i, j+1)=50$	$C(i+1, j+1)=48$ $M(i+1, j+1)=20$

FIG. 6B

$C'(i, j)=0$ $M'(i, j)=38$ $P(i, j)=56$	$C'(i+1, j)=0$ $M'(i+1, j)=40$ $P(i+1, j)=60$
$C'(i, j+1)=0$ $M'(i, j+1)=0$ $P(i, j+1)=50$	$C'(i+1, j+1)=28$ $M'(i+1, j+1)=0$ $P(i+1, j+1)=20$

FIG. 7

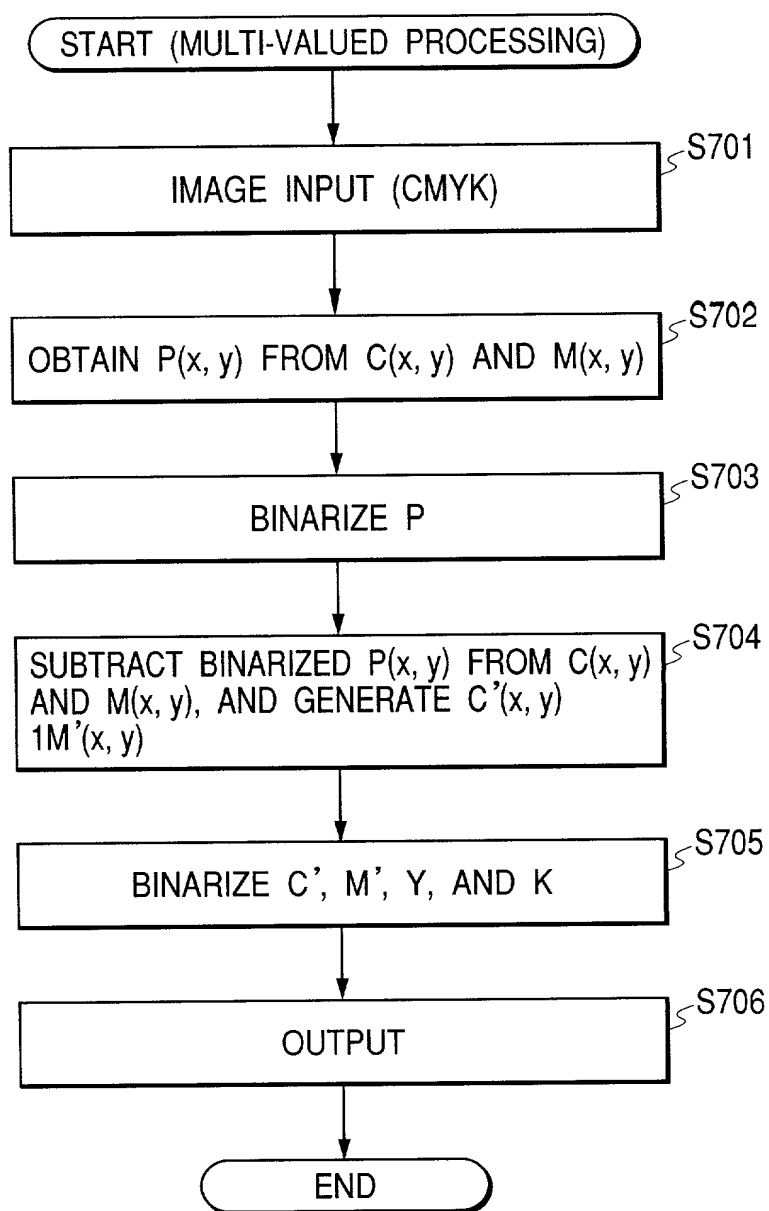


FIG. 8A

$C(i, j)=56$ $M(i, j)=94$	$C(i+1, j)=60$ $M(i+1, j)=100$
$C(i, j+1)=50$ $M(i, j+1)=50$	$C(i+1, j+1)=48$ $M(i+1, j+1)=20$

FIG. 8B

$P(i, j)=56$	$P(i+1, j)=60$
$P(i, j+1)=50$	$P(i+1, j+1)=20$

FIG. 8C

$P(i, j)=255$	$P(i+1, j)=0$
$P(i, j+1)=0$	$P(i+1, j+1)=0$

FIG. 8D

$C'(i, j)=-199$ $M'(i, j)=-161$ $P(i, j)=255$	$C'(i+1, j)=60$ $M'(i+1, j)=100$ $P(i+1, j)=0$
$C'(i, j+1)=50$ $M'(i, j+1)=50$ $P(i, j+1)=0$	$C'(i+1, j+1)=48$ $M'(i+1, j+1)=20$ $P(i+1, j+1)=0$

FIG. 8E

$C'(i, j)=0$ $M'(i, j)=0$ $P(i, j)=1$	$C'(i+1, j)=0$ $M'(i+1, j)=0$ $P(i+1, j)=0$
$C'(i, j+1)=0$ $M'(i, j+1)=0$ $P(i, j+1)=0$	$C'(i+1, j+1)=0$ $M'(i+1, j+1)=0$ $P(i+1, j+1)=0$